

Т.В. Белавина, Л. Р. Пантелеева, Я.Д. Золотонос

Казанский государственный энергетический университет, Россия

СОПРЯЖЕННАЯ ЗАДАЧА КОНВЕКТИВНОГО ТЕПЛООБМЕНА В КОНВЕРГЕНТНОМ КАНАЛЕ, СОЧЛЕНЕННОМ С КОЛЬЦЕВОЙ НАСАДКОЙ СЛОЖНОЙ КОНФИГУРАЦИИ

АННОТАЦИЯ

Предложена математическая модель сопряженной задачи конвективного теплообмена в радиально вращающемся конвергентном канале с внутренними лопатками, сочлененном с кольцевой насадкой сложной конфигурации.

1. ВВЕДЕНИЕ

Важной задачей современной теплотехники является создание высокоэффективных малогабаритных теплообменных аппаратов большой мощности с интенсивными процессами конвективного теплообмена, реализуемыми различными методами.

На практике эти методы реализуются при ламинарном режиме течения в каналах, вращающихся вдоль своей оси [1,2] и радиально вращающихся каналах сложной конфигурации [3] пароструйного подогревателя [4].

По предварительным оценкам коэффициент полезного действия такого центробежного подогревателя равен 97 %, а энергетическая производительность на порядок выше аналогов вследствие интенсивных тепловых и гидродинамических режимов, позволяющих увеличить число Нуссельта на теплопередающих поверхностях в 3.5 раза. Кроме того, в предлагаемом центробежном аппарате термическое сопротивление теплоотдачи снижается в 3...10 раз, что ведет к увеличению коэффициента теплоотдачи на внешней стенке.

Для обеспечения тонкого распыла жидкости и обеспечения интенсивного межфазового взаимодействия в аппаратах рассматриваемого класса на выходе из конвергентного канала устанавливаются насадки в виде каналов с прямоугольной или треугольной формой сечения.

2. МАТЕМАТИЧЕСКАЯ МОДЕЛЬ ЗАДАЧИ КОНВЕКТИВНОГО ТЕПЛООБМЕНА

Рассмотрим случай, когда жидкость поступает в конвергентный канал, сочлененный с призматическим каналом (рис. 1.). Каналы вращаются вокруг оси, перпендикулярной направлению движения жидкости, с постоянной угловой скоростью ω . Течение жидкости установившееся, стационарное, ламинарное.

Для описания процессов гидродинамики и теплообмена введем цилиндрическую систему координат (r, φ, z) , жестко связанную с каналами и ориентированную таким образом, чтобы ось вращения

была направлена вдоль оси r , а ось z направлена в сторону течения жидкости.

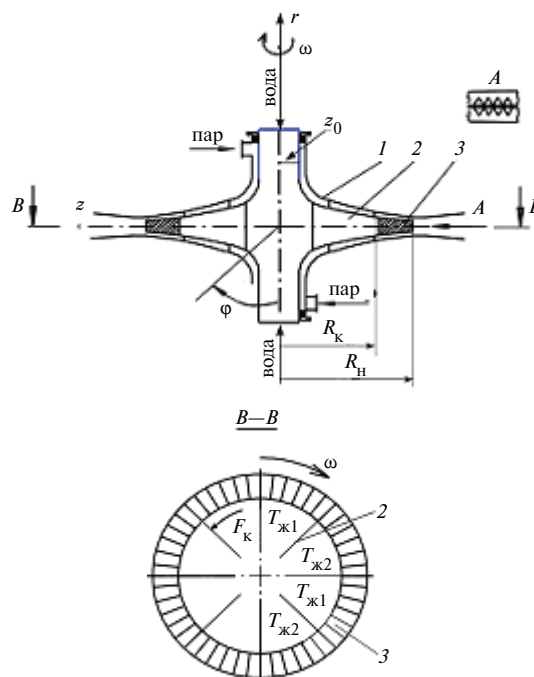


Рис. 1. Элемент пароструйного центробежного подогревателя: 1 – конвергентный криволинейный канал; 2 – радиальные лопатки; 3 – канал сложной конфигурации

Запишем уравнения движения, неразрывности, энергии и теплопроводности для стенок и лопаток в случае ламинарного течения вязкой жидкости в радиально вращающемся канале [3]:

$$V_r \frac{\partial V_r}{\partial r} + \frac{V_\varphi}{r} \frac{\partial V_r}{\partial \varphi} + V_z \frac{\partial V_r}{\partial z} - \frac{V_\varphi^2}{r} = -\frac{1}{\rho} \frac{\partial p}{\partial r} + \nu \left(\nabla^2 V_r - \frac{2}{r^2} \frac{\partial V_\varphi}{\partial \varphi} - \frac{V_r}{r^2} \right) +$$

$$+ 2\omega (V_r \sin \varphi + V_\varphi \cos \varphi) + \omega^2 z \cos \varphi,$$

$$V_r \frac{\partial V_\varphi}{\partial r} + \frac{V_\varphi}{r} \frac{\partial V_\varphi}{\partial \varphi} + V_z \frac{\partial V_\varphi}{\partial z} + \frac{V_r V_\varphi}{r} = -\frac{1}{\rho r} \frac{\partial p}{\partial \varphi} + \nu \left(\nabla^2 V_\varphi + \frac{2}{r^2} \frac{\partial V_r}{\partial \varphi} - \frac{V_\varphi}{r^2} \right) -$$

$$- 2\omega (V_r \cos \varphi - V_\varphi \sin \varphi) + \omega^2 z \sin \varphi,$$

$$V_r \frac{\partial V_z}{\partial r} + \frac{V_\varphi}{r} \frac{\partial V_z}{\partial \varphi} + V_z \frac{\partial V_z}{\partial z} = -\frac{1}{\rho} \frac{\partial p}{\partial z} + \nu \nabla^2 V_z, \quad (3)$$

$$\frac{\partial V_r}{\partial r} + \frac{\partial V_z}{\partial z} + \frac{V_r}{r} + \frac{1}{r} \frac{\partial V_\varphi}{\partial \varphi} = 0, \quad (4)$$

$$V_r \frac{\partial T}{\partial r} + \frac{V_\varphi}{r} \frac{\partial T}{\partial \varphi} + V_z \frac{\partial T}{\partial z} = a \nabla^2 T, \quad (5)$$

$$\frac{\partial^2 T_c}{\partial r^2} + \frac{1}{r} \frac{\partial T_c}{\partial r} + \frac{1}{r^2} \frac{\partial^2 T_c}{\partial \varphi^2} + \frac{\partial^2 T_c}{\partial z^2} = 0, \quad (6)$$

$$\frac{\partial^2 T_n}{\partial r^2} + \frac{1}{r} \frac{\partial T_n}{\partial r} + \frac{\partial^2 T_n}{\partial z^2} = 0, \quad (7)$$

где $\nabla^2 = \frac{\partial^2}{\partial r^2} + \frac{1}{r} \frac{\partial}{\partial r} + \frac{1}{r^2} \frac{\partial^2}{\partial \varphi^2} + \frac{\partial^2}{\partial z^2}$ – оператор Лапласа.

В конвергентном канале 1, снабженном радиальными лопатками 2 (рис. 1), систему уравнений (1)–(6) будем решать при следующих граничных условиях:

$$z = z_0: \quad V_r = u_0; \quad V_\varphi = \omega z_0; \quad V_z = 0;$$

$$T = T_0; \quad p = p_0;$$

$$\frac{\partial V_z}{\partial z} = \frac{\partial V_\varphi}{\partial z} = \frac{\partial V_r}{\partial z} = 0; \quad (8)$$

$$\frac{\partial T}{\partial z} = 0; \quad \frac{\partial T_c}{\partial z} = 0; \quad \frac{\partial T_n}{\partial z} = 0;$$

$$r = 0: \quad V_r = u_0; \quad V_z = 0; \quad \frac{\partial V_z}{\partial r} = \frac{\partial V_\varphi}{\partial r} = 0; \quad (9)$$

$$\frac{\partial T}{\partial r} = 0; \quad \frac{\partial T_n}{\partial r} = 0; \quad \frac{\partial p}{\partial r} = 0;$$

$$r = h: \quad V_r = V_z = 0; \quad V_\varphi = \omega z;$$

$$T = T_c; \quad T_n = T_c; \quad \lambda \frac{\partial T}{\partial r} = \lambda_c \frac{\partial T_c}{\partial r}; \quad (10)$$

$$r = h + \sigma: \quad \lambda_c \frac{\partial T_c}{\partial r} = \alpha_n (T_n - T_c); \quad (11)$$

$$\varphi = \varphi_0: \quad V_r = V_z = 0; \quad V_\varphi = \omega z; \quad T = T_n;$$

$$\lambda \frac{\partial T}{\partial r} = \alpha_n (T_n - T); \quad (12)$$

$$\lambda \frac{\partial T}{\partial r} = \lambda_n \frac{\partial T_n}{\partial r};$$

$$\varphi = -\varphi_0: \quad V_r = V_z = 0; \quad V_\varphi = \omega z; \quad T = T_n;$$

$$\lambda \frac{\partial T}{\partial r} = \alpha_n (T_n - T); \quad (13)$$

$$\lambda \frac{\partial T}{\partial r} = \lambda_n \frac{\partial T_n}{\partial r}.$$

Решение уравнений (1) – (7) с граничными условиями (8) – (13) будем искать в виде:

$$\begin{aligned} V_r &= u_0 f(\bar{r}, \varphi, \bar{z}); \\ V_\varphi &= \omega \bar{z} r_0 G(\bar{r}, \varphi, \bar{z}); \\ V_z &= u_0 H(\bar{r}, \varphi, \bar{z}); \\ p - p_0 &= \rho u_0^2 P(\bar{r}, \varphi, \bar{z}); \\ T(\bar{r}, \varphi, \bar{z}) &= T_0 t(\bar{r}, \varphi, \bar{z}); \\ T_c(\bar{r}, \varphi, \bar{z}) &= T_0 \theta_c(\bar{r}, \varphi, \bar{z}); \\ T_n(\bar{r}, \varphi, \bar{z}) &= T_0 \theta(\bar{r}, \varphi, \bar{z}); \\ T_n(\bar{r}, \varphi, \bar{z}) &= T_c \theta_n(\bar{r}, \varphi, \bar{z}), \end{aligned} \quad (14)$$

где $\bar{r} = \frac{r}{r_0}$, $\bar{z} = \frac{z}{r_0}$ – безразмерные переменные.

Подставляя (14) в уравнения (1) – (7), получаем

$$\begin{aligned} f \frac{\partial f}{\partial \bar{r}} + NG \frac{\bar{z}}{\bar{r}} \frac{\partial f}{\partial \varphi} + H \frac{\partial f}{\partial \bar{z}} = -\frac{\partial P}{\partial \bar{r}} + \\ + \frac{1}{\text{Re}} \left\{ \bar{\nabla}^2 f - \frac{2N\bar{z}}{\bar{r}^2} \frac{\partial G}{\partial \varphi} - \frac{f}{\bar{r}^2} \right\} + 2fN \sin \varphi + \\ + N^2 \bar{z} \left(\frac{\bar{z}}{\bar{r}} G^2 + \cos \varphi + 2G \cos \varphi \right), \end{aligned} \quad (15)$$

$$\begin{aligned} \bar{z} \left(f \frac{\partial G}{\partial \bar{r}} + NG \frac{\bar{z}}{\bar{r}} \frac{\partial G}{\partial \varphi} + H \frac{\partial G}{\partial \bar{z}} \right) = -\frac{1}{N \bar{r}} \frac{\partial P}{\partial \varphi} + \\ + \frac{1}{\text{Re}} \left\{ \bar{z} \bar{\nabla}^2 G + 2 \frac{\partial G}{\partial \bar{r}} + \frac{2}{\bar{r}^2 N} \frac{\partial f}{\partial \varphi} - \frac{\bar{z}}{\bar{r}^2} G \right\} - H + \\ + N \bar{z} (1 + 2G) \sin \varphi - f \left(2 \cos \varphi + \frac{\bar{z}}{\bar{r}} G \right), \end{aligned} \quad (16)$$

$$f \frac{\partial H}{\partial \bar{r}} + NG \frac{\bar{z}}{\bar{r}} \frac{\partial H}{\partial \varphi} + H \frac{\partial H}{\partial \bar{z}} = -\frac{\partial P}{\partial \bar{r}} + \frac{1}{\text{Re}} \bar{\nabla}^2 H, \quad (17)$$

$$\frac{\partial f}{\partial \bar{r}} + N \frac{\bar{z}}{\bar{r}} \frac{\partial G}{\partial \varphi} + \frac{\partial H}{\partial \bar{z}} + \frac{f}{\bar{r}} = 0, \quad (18)$$

$$f \frac{\partial t}{\partial \bar{r}} + NG \frac{\bar{z}}{\bar{r}} \frac{\partial t}{\partial \varphi} + H \frac{\partial t}{\partial \bar{z}} = \frac{1}{\text{Pe}} \bar{\nabla}^2 t, \quad (19)$$

$$\frac{\partial^2 \theta_c}{\partial \bar{r}^2} + \frac{1}{\bar{r}} \frac{\partial \theta_c}{\partial \bar{r}} + \frac{1}{\bar{r}^2} \frac{\partial^2 \theta_c}{\partial \varphi^2} + \frac{\partial^2 \theta_c}{\partial \bar{z}^2} = 0, \quad (20)$$

$$\frac{\partial^2 \theta_n}{\partial \bar{r}^2} + \frac{1}{\bar{r}} \frac{\partial \theta_n}{\partial \bar{r}} + \frac{\partial^2 \theta_n}{\partial \bar{z}^2} = 0. \quad (21)$$

Здесь $\bar{\nabla}^2 = \frac{\partial^2}{\partial \bar{r}^2} + \frac{1}{\bar{r}} \frac{\partial}{\partial \bar{r}} + \frac{1}{\bar{r}^2} \frac{\partial^2}{\partial \varphi^2} + \frac{\partial^2}{\partial \bar{z}^2}$ – опера-

тор Лапласа для безразмерных переменных;

$\text{Re} = \frac{u_0 r_0}{\nu}$ – число Рейнольдса; $\text{Pe} = \frac{u_0 r_0}{a}$ – число

Пекле; $N = \frac{\omega r_0}{u_0}$ – число закрутки.

Граничные условия для уравнений (15) – (21) преобразуются к виду:

$$\bar{z} = 1: f = 1; G = 1; H = 0; t = 1; P = 0;$$

$$\frac{\partial f}{\partial \bar{z}} = \frac{\partial G}{\partial \bar{z}} = \frac{\partial H}{\partial \bar{z}} = 0; \quad (22)$$

$$\frac{\partial t}{\partial \bar{z}} = \frac{\partial \theta_c}{\partial \bar{z}} = \frac{\partial \theta_n}{\partial \bar{z}} = 0;$$

$$\bar{r} = 0: f = 1; H = 0;$$

$$\frac{\partial G}{\partial \bar{r}} = 0; \frac{\partial H}{\partial \bar{r}} = 0; \frac{\partial \theta_n}{\partial \bar{r}} = 0; \frac{\partial P}{\partial \bar{r}} = 0; \quad (23)$$

$$\bar{r} = 1: f = H = 0; G = 1; t = \theta; \theta_n = 1;$$

$$\lambda \frac{\partial t}{\partial \bar{r}} = \lambda_c \frac{\partial \theta_c}{\partial \bar{r}}; \quad (24)$$

$$\bar{r} = \bar{\sigma}: \frac{\partial \theta_c}{\partial \bar{r}} = \text{Bi}_1 (\theta - \theta_c); \quad (25)$$

$$\varphi = \varphi_0: f = H = 0; G = 1; t = \theta_n;$$

$$\frac{\partial t}{\partial \bar{r}} = \text{Bi}_2 (\theta_n - \theta); \quad (26)$$

$$\lambda \frac{\partial t}{\partial \bar{r}} = \lambda_n \frac{\partial \theta_n}{\partial \bar{r}};$$

$$\varphi = -\varphi_0: f = H = 0; G = 1; t = \theta_n;$$

$$\frac{\partial t}{\partial \bar{r}} = \text{Bi}_2 (\theta_n - \theta); \quad (27)$$

$$\lambda \frac{\partial t}{\partial \bar{r}} = \lambda_n \frac{\partial \theta_n}{\partial \bar{r}};$$

где $\text{Bi}_1 = \frac{\alpha_n r_0}{\lambda_c}$, $\text{Bi}_2 = \frac{\alpha_n r_0}{\lambda}$ – числа Био.

Используя уравнения (1)–(4), Багоутдиновой А.Г. было получено выражение для определения параметра давления при установившемся течении:

$$\frac{\partial^2 P}{\partial \bar{r}^2} + \frac{1}{\bar{r}} \frac{\partial P}{\partial \bar{r}} + \frac{1}{\bar{r}^2} \frac{\partial^2 P}{\partial \varphi^2} + \frac{\partial^2 P}{\partial \bar{z}^2} = - \left(\frac{\partial f}{\partial \bar{r}} \right)^2 - \left(\frac{\partial H}{\partial \bar{z}} \right)^2 -$$

$$- \left(\frac{f}{\bar{r}} \right)^2 - 2 \frac{\partial f}{\partial \bar{z}} \frac{\partial H}{\partial \bar{z}} - \frac{2 \bar{z} N}{\bar{r}^2} \frac{\partial f}{\partial \varphi} \left(G + \bar{r} \frac{\partial G}{\partial \bar{r}} + \cos \varphi \right) -$$

$$- N^2 \left[\left(\frac{\partial G}{\partial \varphi} \right)^2 - 2G^2 - 2\bar{r} \frac{\partial G}{\partial \bar{r}} - (4G + 3) \cos \varphi \right] -$$

$$- 2N \left\{ \frac{\partial G}{\partial \bar{z}} \frac{\partial H}{\partial \varphi} + \frac{\partial G}{\partial \varphi} \left(\frac{\bar{z} f}{\bar{r}^2} - N \sin \varphi \right) - \frac{2f}{\bar{r}} \sin \varphi \right\}.$$

В кольцевой насадке 3, поперечное сечение которой представляет собой четырехугольник, состоящий из двух равносторонних треугольников ABD и BCD (рис. 2), сочлененной с конвергентным каналом 1 (рис. 1), систему уравнений (1) – (6) будем решать при следующих граничных условиях:

$$z = 0: V_r = u_1; V_\varphi = 0; V_z = 0; T = T_1; p = p_1;$$

$$\frac{\partial V_z}{\partial z} = \frac{\partial V_\varphi}{\partial z} = \frac{\partial V_r}{\partial z} = 0; \frac{\partial T}{\partial z} = \frac{\partial T_c}{\partial z} = 0; \quad (28)$$

$$r = 0: V_r = u_1; V_z = 0;$$

$$\frac{\partial V_z}{\partial r} = \frac{\partial V_\varphi}{\partial r} = 0; \frac{\partial T}{\partial r} = 0; \quad (29)$$

$$r = R(\beta): V_r = V_z = 0; V_\varphi = \omega r; T = T_c;$$

$$\lambda \frac{\partial T}{\partial r} = \lambda_c \frac{\partial T_c}{\partial r}; \quad (30)$$

$$r = R(\beta) + \sigma: \lambda_c \frac{\partial T_c}{\partial r} = -\alpha_n (T_c - T_n). \quad (31)$$

Решение уравнений (1) – (7) с граничными условиями (28) – (31) будем искать в виде:

$$V_r = u_1 f(\bar{r}, \varphi, \bar{z}); V_\varphi = \omega \bar{z} Z G(\bar{r}, \varphi, \bar{z});$$

$$V_z = u_1 H(\bar{r}, \varphi, \bar{z}); p - p_1 = \rho u_1^2 P(\bar{r}, \varphi, \bar{z});$$

$$T(\bar{r}, \varphi, \bar{z}) = T_1 t(\bar{r}, \varphi, \bar{z}); \quad (32)$$

$$T_c(\bar{r}, \varphi, \bar{z}) = T_1 \theta_c(\bar{r}, \varphi, \bar{z});$$

$$T_n(\bar{r}, \varphi, \bar{z}) = T_1 \theta(\bar{r}, \varphi, \bar{z}),$$

где $\bar{r} = \frac{r}{R}$, $\bar{z} = \frac{z}{Z}$ – безразмерные переменные; $Z = R_n - R_k$; $R = R(\beta)$ – контур поперечного сечения насадки, вычисляемый по формуле

$$R(\beta) = \begin{cases} \frac{h}{2 \sin(\beta + \frac{6k+1}{6} \pi)}, & \pi k \leq \beta \leq \frac{(2k+1)\pi}{2}; \\ \frac{h}{2 \sin(\beta - \frac{6k+1}{6} \pi)}, & \frac{(2k+1)\pi}{2} \leq \beta \leq \pi(k+1), \end{cases}$$

$k = 0, 1$.

Здесь h – высота равностороннего треугольника.

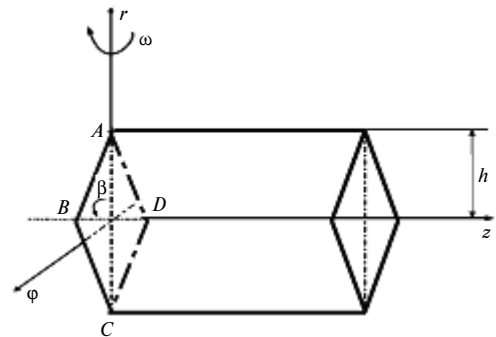


Рис. 2. Контур поперечного сечения насадки

С учетом новых переменных (32) уравнения (1) – (7) запишем:

$$-f \frac{\partial f}{\partial \bar{r}} + \frac{NG}{\bar{z}} \frac{\bar{z}}{\bar{r}^2} \frac{\partial f}{\partial \varphi} + \bar{L} H \frac{1}{\bar{r}} \frac{\partial f}{\partial \bar{z}} = \frac{\partial P}{\partial \bar{r}} +$$

$$+ \frac{\bar{R}}{\bar{r} \text{Re}} \left\{ \bar{r}^2 \frac{\partial^2 f}{\partial \bar{r}^2} + (2\bar{r} - 1) \frac{\partial f}{\partial \bar{r}} + \frac{1}{\bar{r}^2} \frac{\partial^2 f}{\partial \varphi^2} + \right.$$

$$\left. + \bar{L}^2 \frac{\partial^2 f}{\partial \bar{z}^2} - \frac{2N}{\bar{z}} \frac{\bar{z}}{\bar{r}} \frac{\partial G}{\partial \varphi} - \frac{f}{\bar{r}^2} \right\} + \frac{2fN \sin \varphi}{\bar{r} \bar{R}} +$$

$$+ \left(\frac{NG}{\bar{z}} \frac{\bar{z}}{\bar{r}} \right)^2 + \frac{N^2}{\bar{z} \bar{R}} \frac{\bar{z}}{\bar{r}} (2G + 1) \cos \varphi, \quad (33)$$

$$-\bar{z}f \frac{\partial G}{\partial \bar{r}} + NG \frac{\bar{z}^2}{\bar{r}^2} \frac{\partial G}{\partial \bar{\phi}} + \bar{L}H \frac{\bar{z}}{\bar{r}} \frac{\partial G}{\partial \bar{z}} = -\frac{\bar{z}}{N \bar{r}^2} \frac{\partial P}{\partial \bar{\phi}} +$$

$$+\frac{\bar{R}}{\bar{r} \text{Re}} \left\{ \bar{z} \left(\bar{r}^2 \frac{\partial^2 G}{\partial \bar{r}^2} + (2\bar{r}-1) \frac{\partial G}{\partial \bar{r}} + \frac{1}{\bar{r}^2} \frac{\partial^2 G}{\partial \bar{\phi}^2} + \right. \right.$$

$$\left. \left. + \bar{L}^2 \frac{\partial^2 G}{\partial \bar{z}^2} \right) + 2\bar{L}^2 \frac{\partial G}{\partial \bar{z}} + \frac{2\bar{z}}{\bar{r}^2 N} \frac{\partial f}{\partial \bar{\phi}} - \frac{\bar{z}}{\bar{r}^2} G \right\} - \frac{HG}{\bar{L}} -$$

$$-\frac{f}{\bar{r}} \left(\frac{2}{\bar{L}} \cos \varphi + \bar{z}G \right) + \frac{N \bar{z}}{\bar{r}} (2G+1) \sin \varphi,$$

$$-f \frac{\partial H}{\partial \bar{r}} + \frac{NG}{\bar{z}} \frac{\bar{z}}{\bar{r}^2} \frac{\partial H}{\partial \bar{\phi}} + \frac{\bar{L}H}{\bar{r}} \frac{\partial H}{\partial \bar{z}} = -\frac{\partial P}{\partial \bar{z}} + \frac{\bar{R}}{\bar{r} \text{Re}} \times$$

$$\times \left\{ \bar{r}^2 \frac{\partial^2 H}{\partial \bar{r}^2} + (2\bar{r}-1) \frac{\partial H}{\partial \bar{r}} + \frac{1}{\bar{r}^2} \frac{\partial^2 H}{\partial \bar{\phi}^2} + \bar{L}^2 \frac{\partial^2 H}{\partial \bar{z}^2} \right\}, \quad (35)$$

$$-\frac{\partial f}{\partial \bar{r}} + \frac{N \bar{z}}{\bar{z}} \frac{\partial G}{\partial \bar{\phi}} + \frac{\bar{L}}{\bar{r}} \frac{\partial H}{\partial \bar{z}} + \frac{f}{\bar{r}^2} = 0, \quad (36)$$

$$f \frac{\partial t}{\partial \bar{r}} + NG \frac{\partial t}{\partial \bar{\phi}} - \bar{z} \bar{L} H \frac{\partial t}{\partial \bar{z}} = \frac{\bar{R}}{\text{Pe}} \left\{ \bar{r}^2 \frac{\partial^2 t}{\partial \bar{r}^2} + \right.$$

$$\left. + (2\bar{r}-1) \frac{\partial t}{\partial \bar{r}} + \frac{1}{\bar{r}^2} \frac{\partial^2 t}{\partial \bar{\phi}^2} + \bar{L}^2 \frac{\partial^2 t}{\partial \bar{z}^2} \right\}, \quad (37)$$

$$\bar{r}^2 \frac{\partial^2 \theta_c}{\partial \bar{r}^2} + (2\bar{r}-1) \frac{\partial \theta_c}{\partial \bar{r}} + \frac{1}{\bar{r}^2} \frac{\partial^2 \theta_c}{\partial \bar{\phi}^2} + \bar{L}^2 \frac{\partial^2 \theta_c}{\partial \bar{z}^2} = 0. \quad (38)$$

Здесь $N = \frac{\omega d_3}{u_1}$ – число закрутки; $\text{Re} = \frac{u_1 d_3}{\nu}$ –

число Рейнольдса; $\bar{L} = \frac{R}{Z}$; $\bar{z} = \frac{d_3}{Z} \bar{R} = \frac{d_3}{R}$ – безраз-

мерные величины; $\text{Pe} = \frac{u_1 d_3}{a}$ – число Пекле; $d_3 = h$ –

эквивалентный диаметр.

Граничные условия для уравнений (33) – (38) будут иметь вид:

$$\bar{z} = 0: f = 1; G = H = 0; t = 1; F = 0;$$

$$\frac{\partial f}{\partial \bar{z}} = \frac{\partial G}{\partial \bar{z}} = \frac{\partial H}{\partial \bar{z}} = 0; \frac{\partial t}{\partial \bar{z}} = \frac{\partial \theta}{\partial \bar{z}} = 0; \quad (39)$$

$$\bar{r} = 0: f = 1; H = 0; t = 1;$$

$$\frac{\partial G}{\partial \bar{r}} = 0; \frac{\partial H}{\partial \bar{r}} = 0; \frac{\partial t}{\partial \bar{r}} = 0; \quad (40)$$

$$\bar{r} = 1: f = H = 0; G = 1; t = \theta;$$

$$\lambda \frac{\partial t}{\partial \bar{r}} = \lambda_c \frac{\partial \theta}{\partial \bar{r}}; \quad (41)$$

$$\bar{r} = \bar{\sigma}: \frac{\partial \theta}{\partial \bar{r}} = \frac{\text{Bi}}{\bar{r} \bar{R}} (\theta_c - \theta_n), \quad (42)$$

где $\text{Bi} = \frac{\alpha_n d_3}{\lambda_c}$ – число Био.

ЗАКЛЮЧЕНИЕ

Предложенные математические модели и их численная реализация позволяют:

– определить значения скоростей и давления в каналах в зависимости от чисел закрутки и Рейнольдса, а также значения температур в проточной части каналов;

– установить общие закономерности процессов теплообмена при течении вязких жидкостей во вращающихся и неподвижных элементах сложной конфигурации.

СПИСОК ОБОЗНАЧЕНИЙ

ω – угловая скорость вращения, с^{-1} ;

ρ – плотность, $\text{кг}/\text{м}^3$;

ν – кинематическая вязкость, $\text{м}^2/\text{с}$;

V_r, V_φ, V_z – радиальная, тангенциальная и осевая составляющие скорости;

f, G, H, P – безразмерные компоненты радиальной, тангенциальной, осевой скоростей и параметра давления;

T, T_c, T_n, T_l – температуры жидкости, стенки, пара и радиальной лопатки соответственно, К;

T_0, T_1 – температуры жидкости на входе в конвергентный канал и насадок соответственно, К;

u_0, u_1 – начальные скорости на входе в конвергентный канал и насадок соответственно, $\text{м}/\text{с}$;

p_0, p_1 – давление на входе в конвергентный канал и насадок соответственно, Па;

a – коэффициент теплопроводности, $\text{м}^2/\text{с}$;

$\lambda, \lambda_c, \lambda_n$ – коэффициенты теплопроводности жидкости, стенки и радиальной лопатки соответственно, $\text{Вт}/(\text{м}\cdot\text{К})$;

α_n, α_l – средний коэффициент теплоотдачи пара и радиальной лопатки соответственно, $\text{Вт}/(\text{м}^2\cdot\text{К})$;

$\varphi_0 = \frac{2\pi r}{n}$, n – число радиальных лопаток.

СПИСОК ЛИТЕРАТУРЫ

1. Горская Т.Ю. Гидродинамика ламинарного течения вязкой жидкости в теплообменных устройствах с вращающейся рабочей поверхностью типа «конфузор-диффузор»: Дис. ... канд. тех. наук. Казань, 2004. 110 с.
2. Пантелеева Л.Р., Золотонос Я. Д. Математическая модель и алгоритм численной реализации конвективного теплообмена в аппарате с вращающейся рабочей поверхностью // Изв. вузов. Проблемы энергетики. Казань; КГЭУ, 2003. № 1 – 2. С.25 – 32.
3. Багоутдинова А. Г., Золотонос Я. Д. Математическое моделирование движения вязкой жидкости в радиально вращающихся каналах сложной конфигурации // Известия вузов. Проблемы энергетики. Казань: КГЭУ, 2003. №11–12. С. 181–186.
4. Патент 2249777, Российская Федерация, МПК 7F 28D 11/00. Аппарат для проведения процессов теплообмена / Я. Д. Золотонос, Л.А. Смирнова, Т.Р. Шафигуллин. № 2002115856/06(016690), заяв. 13.06.02 // Открытия. Изобретения. 2004. № 10.